

线性回归模型的变量选择方法

王一鑫

2025 年 5 月 28 日

摘要

变量选择是构建高效线性回归模型的重要环节，对于提高模型解释性和预测精度具有重要意义。本文系统介绍了几种常用的变量选择方法，包括岭回归（Ridge Regression）、Lasso 回归、SCAD（平滑剪切绝对偏差）方法以及自适应 Lasso（Adaptive Lasso）。在阐述各方法数学原理的基础上，利用 R 语言对波士顿房价数据集进行实证分析，绘制了系数路径图与交叉验证误差图，直观展示了调节参数对模型的影响。结果表明，不同方法在变量筛选能力、模型稀疏性和估计偏差方面各具特点，适应不同实际需求。本文对比分析了这些方法的优劣，为实际数据建模中的变量选择提供了理论基础和实用参考。

关键词：变量选择；岭回归；Lasso；SCAD；自适应 Lasso

目录

1	变量选择方法	1
1.1	问题背景	1
1.2	岭回归	2
1.2.1	模型原理	2
1.2.2	代码实践	3
1.3	Lasso 方法	6
1.3.1	模型原理	6
1.3.2	代码实践	8
1.4	SCAD 回归	10
1.4.1	模型建立	10
1.4.2	代码实践	10
1.5	自适应 Lasso	12
1.5.1	模型构建	12
1.5.2	代码实践	12
A	回归系数表	15

1 变量选择方法

1.1 问题背景

“回归”的概念是 1886 年由英国统计学家 Galton 在研究父代身高与子代身高之间的关系时提出的. 目前回归分析已成为统计学应用最为广泛的方法之一, 主要用于探索和检验协变量与相应变量之间的相关关系.

我们在对实际问题构建线性回归模型的过程中, 可能会把对响应变量 Y 可能产生影响的协变量 X_1, X_2, \dots, X_p 全部引入回归方程, 这会导致模型中包含了一些对 Y 影响很小的变量, 出现过拟合的现象, 降低了模型的预测精度, 因此对协变量做变量选择是非常必要的.

除了如 AIC 和 BIC 等经典的 L_0 惩罚变量选择方法之外, 一些压缩估计方法也是重要的统计方法, 例如岭回归、桥回归、Lasso、SCAD 和自适应 Lasso.

考虑多元线性回归模型, 假设对 Y, X_1, \dots, X_p 进行了 n 次独立的试验, 得到 n 组独立的观测值, 即 $\{(y_i, x_{i1}, \dots, x_{ip}), i = 1, \dots, n\}$. 简便起见, 对协变量数据进行标准化处理, 使得

$$\sum_{i=1}^n x_{ij} = 0, \quad \sum_{i=1}^n x_{ij}^2 = 1. \quad (1)$$

则标准化后的数据满足

$$y_i = \beta_1 x_{i1} + \dots + \beta_p x_{ip} + \varepsilon_i, \quad i = 1, \dots, n. \quad (2)$$

引进矩阵记号:

$$\mathbf{Y} = \begin{pmatrix} y_1 \\ y_2 \\ \vdots \\ y_n \end{pmatrix}, \quad \mathbf{X} = \begin{pmatrix} x_{11} & \cdots & x_{1p} \\ x_{21} & \cdots & x_{2p} \\ \vdots & \ddots & \vdots \\ x_{n1} & \cdots & x_{np} \end{pmatrix}, \quad \boldsymbol{\beta} = \begin{pmatrix} \beta_1 \\ \beta_2 \\ \vdots \\ \beta_p \end{pmatrix}, \quad \boldsymbol{\varepsilon} = \begin{pmatrix} \varepsilon_1 \\ \varepsilon_2 \\ \vdots \\ \varepsilon_n \end{pmatrix},$$

其中 \mathbf{Y} 为 $n \times 1$ 的响应变量的观测向量, \mathbf{X} 为 $n \times p$ 的已知设计矩阵, $\boldsymbol{\beta}$ 为 p 维的未知参数向量, $\boldsymbol{\varepsilon}$ 为 $n \times 1$ 的随机模型误差向量. 模型 (2) 写成如下矩阵形式:

$$\mathbf{Y} = \mathbf{X}\boldsymbol{\beta} + \boldsymbol{\varepsilon}. \quad (3)$$

1.2 岭回归

1.2.1 模型原理

岭回归 (Ridge Regression), 也称为 Tikhonov 正则化 (Tikhonov Regularization), 是一种专门用于处理多重共线性 (特征之间高度相关) 问题的线性回归改进算法. 在多重共线性的情况下, 数据矩阵可能不是满秩的, 这意味着矩阵不可逆, 因此不能直接使用普通最小二乘法 (Ordinary Least Squares, OLS) 来估计模型参数. 岭回归通过在损失函数中添加一个正则化项 (惩罚项) 来解决这个问题.

岭回归的损失函数是残差平方和 (RSS) 与正则化项的和. 通过极小化下面的惩罚最小二乘目标函数, 可得到未知回归系数 β 的岭回归估计 $\hat{\beta}^R = (\hat{\beta}_1, \dots, \hat{\beta}_p)'$:

$$\frac{1}{n} \sum_{i=1}^n \left(y_i - \sum_{j=1}^p \beta_j x_{ij} \right)^2 + \lambda \sum_{j=1}^p \beta_j^2, \quad (4)$$

正则化项的作用是惩罚模型参数的大小. 当 λ 增大时, 正则化项的影响增大, 参数 β 趋向于较小的值, 这有助于减少模型的复杂度和过拟合的风险. 正则化项也可以使模型在面对多重共线性时更加稳定. 在没有正则化 (即 $\lambda = 0$) 的情况下, 岭回归退化为普通最小二乘回归. 式 (4) 中, $\sum_{j=1}^p \beta_j^2$ 是惩罚项, 针对回归系数 β_1, \dots, β_p , 作用是把接近于 0 的回归系数在 0 的方向进行压缩.

极小化惩罚最小二乘目标函数 (4), 求得岭回归估计为:

$$\hat{\beta}^R = (\hat{\beta}_1, \dots, \hat{\beta}_p)' = (\mathbf{X}'\mathbf{X} + n\lambda\mathbf{I}_p)^{-1}\mathbf{X}'\mathbf{Y}, \quad (5)$$

其中 \mathbf{I}_p 是 p 维单位矩阵. 由式 (5) 定义的岭回归估计可知, 当 $\lambda = 0$ 时, 岭回归估计就是最小二乘估计, 即惩罚项不起任何作用. 随着 $\lambda \rightarrow \infty$, 惩罚项的作用增强, 岭回归估计也会随着 λ 增大越来越接近于 0.

岭回归的优势是平衡了偏差和方差, 随着 λ 的增加, 岭回归拟合的光滑度降低, 尽管方差变小, 但是偏差变大. 通过极小化下面的广义交叉验证 (generalized cross-validation, GCV) 目标函数, 获得最优的调节参数 λ , 即

$$\hat{\lambda}_{\text{gcv}} = \arg \min_{\lambda} \text{GCV}(\lambda) = \arg \min_{\lambda} \frac{\frac{1}{n} \|(\mathbf{I}_n - \mathbf{H}(\lambda))\mathbf{Y}\|_2^2}{[n^{-1} \text{tr}(\mathbf{I}_n - \mathbf{H}(\lambda))]^2}, \quad (6)$$

其中

$$\mathbf{H}(\lambda) = \mathbf{X}(\mathbf{X}'\mathbf{X} + n\lambda\mathbf{I}_p)^{-1}\mathbf{X}'. \quad (7)$$

1.2.2 代码实践

在 R 语言中，程序包 `ridge` 中的函数 `linearRidge()`、程序包 `MASS` 中的函数 `lm.ridge()` 和程序包 `glmnet` 中的函数 `glmnet()` 都可以实现岭回归，其中在函数 `glmnet()` 中，`alpha=0` 拟合岭回归模型；`alpha=1` 拟合 Lasso 模型。

例 1.1. 波士顿房价预测是一个典型的回归问题，在机器学习领域中经常作为基准测试。它利用了波士顿地区的房屋特征和相应的中位数价格数据，目标是建立一个预测模型来根据房屋的特征估算其价格。这个问题的数据集通常来源于 1978 年，包含 506 个样本，每个样本有 13 个属性特征，如犯罪率、房产税率、学生-教师比例等，以及一个目标值，即房屋的中位数价格。

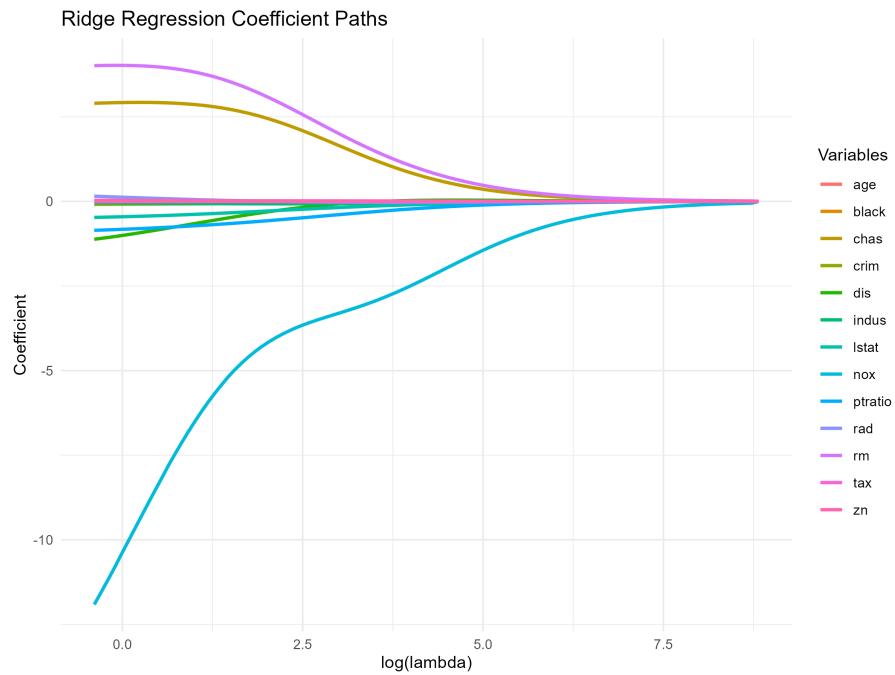
首先导入必要的包，并加载 Boston 房价数据集。

```
1 library(MASS)
2 library(glmnet)
3 library(ggplot2)
4 library(broom)
5 library(dplyr)
6
7 data("Boston")
8 x <- as.matrix(Boston[, -14])
9 y <- Boston$medv
```

岭回归，并整理数据，以便作图：

```
1 fit_ridge <- glmnet(x, y, alpha = 0, nlambda = 100)
2 ridge_tidy <- tidy(fit_ridge) %>%
3 filter(term != "(Intercept)") %>%
4 mutate(log_lambda = log(lambda))
```

使用 `ggplot2` 自定义路径图，见图(1)。

图 1: 岭回归估计随着 λ 变化的路径图.

```

1  ridge_plot <- ggplot(ridge_tidy, aes(x = log_lambda, y =
2      estimate, color = term)) +
3  geom_line(linewidth = 1) +
4  labs(
5    title = "Ridge Regression Coefficient Paths",
6    x = "log(lambda)", y = "Coefficient"
7  ) +
8  theme_minimal() +
9  theme(legend.position = "right") +
  guides(color = guide_legend(title = "Variables"))

```

从图(1)中可以看出, 随着调节参数 λ 的增大, 岭回归估计向原点收缩, 但并不会使任何回归系数严格等于零.

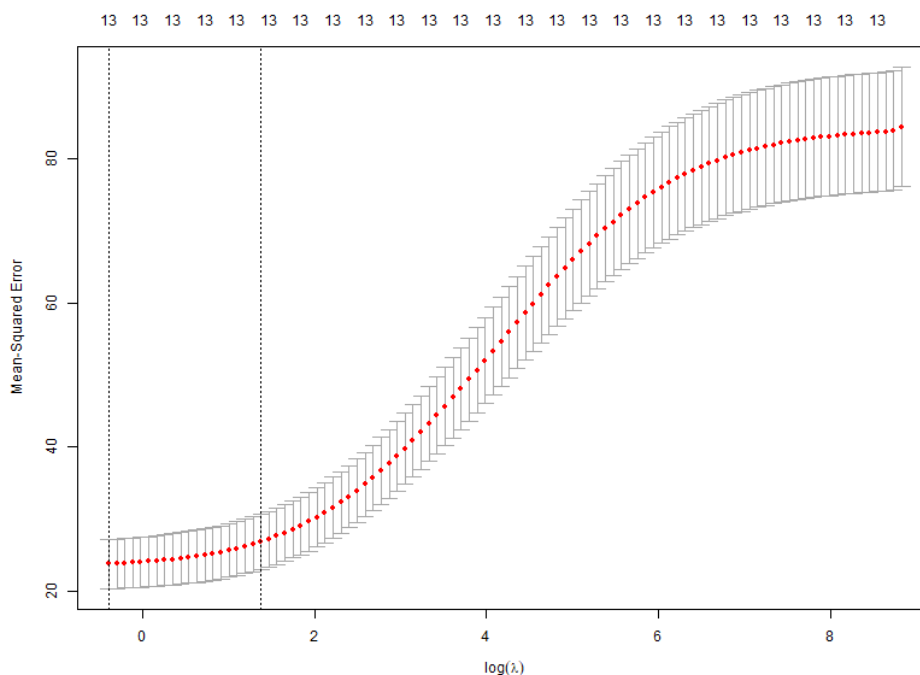


图 2: 岭回归的交叉验证误差图.

使用程序包 `glmnet` 中的函数 `cv.glmnet()` 选择最优的 λ , 并绘制交叉验证误差图, 见图(2).

```
1 set.seed(2025)
2 cv.ridge <- cv.glmnet(x, y, alpha = 0)
3 plot(cv.ridge, xlab = expression(log(lambda)))
```

对于图(2), 横轴为 $\log(\lambda)$, 而纵轴为交叉验证误差, 同时图上还显示了交叉验证误差的正、负标准差. 左边的垂直虚线表示能使得交叉验证误差最小的 $\log(\hat{\lambda})$ 取值. 右边的垂直虚线表示比 $\hat{\lambda}$ 更大, 且与 $CV(\hat{\lambda})$ 相距一个标准差的调节参数的取值, 记为 $\log(\tilde{\lambda})$. 用 `cv.ridge$lambda.min` 获得 $\hat{\lambda} = 0.6777654$; 用 `cv.ridge$lambda.1se` 获得 $\tilde{\lambda} = 3.969686$.

我们可以提取岭回归系数, 结果见附录.

```
1 cv.ridge$lambda.min
2 cv.ridge$lambda.1se
3 coef(cv.ridge, s = "lambda.min")
4 coef(cv.ridge, s = "lambda.1se")
```

1.3 Lasso 方法

1.3.1 模型原理

岭回归的一个劣势是不能产生稀疏模型，即岭回归方法产生的最终模型还是包含 p 个预测变量，惩罚项 $\lambda \sum_{j=1}^p \beta_j^2$ 随着 λ 的增大可以把回归系数往 0 的方向推进压缩，但不会把任一个变量的回归系数压缩到 0（除非 $\lambda = \infty$ ）。

为了进行变量选择，考虑下面的惩罚最小二乘目标函数：

$$Q(\boldsymbol{\beta}) = \frac{1}{2n} \|\mathbf{Y} - \mathbf{X}\boldsymbol{\beta}\|_2^2 + \sum_{j=1}^p p_\lambda(|\beta_j|) \quad (8)$$

其中 $p_\lambda(\cdot)$ 是惩罚函数， λ 是调节参数或截断参数，是用来控制模型的复杂度，可以采用交叉验证（CV）方法、广义交叉验证（GCV）方法或 BIC 等数据驱动的准则进行选取。一个好的惩罚函数应具有无偏性、稀疏性和连续性的性质。

Tibshirani 把 L_1 惩罚函数施加于回归模型的一般最小二乘和似然函数，提出了 Lasso 变量选择方法。

针对多元线性回归模型(2)，极小化下面的 L_1 惩罚最小二乘目标函数，可得回归系数 $\boldsymbol{\beta}$ 的 Lasso 估计 $\hat{\boldsymbol{\beta}}^L$ ：

$$\frac{1}{2n} \sum_{i=1}^n \left(y_i - \sum_{j=1}^p \beta_j x_{ij} \right)^2 + \lambda \sum_{j=1}^p |\beta_j|. \quad (9)$$

Lasso 估计 $\hat{\boldsymbol{\beta}}^L$ 也等价于求解下面的约束优化问题：

$$\begin{cases} \min_{\boldsymbol{\beta}} & \frac{1}{2n} \sum_{i=1}^n \left(y_i - \sum_{j=1}^p \beta_j x_{ij} \right)^2, \\ \text{s.t.} & \sum_{j=1}^p |\beta_j| \leq c, \end{cases} \quad (10)$$

其中非负参数 c 的作用相同于调节参数 λ ， c 的大小控制着 $\sum_{j=1}^p |\beta_j|$ 的大小。随着 c 的变小，约束条件 $\sum_{j=1}^p |\beta_j| \leq c$ 的作用会变强，这时会把回归系数接近于 0 的参数压缩到 0，从而产生稀疏模型。寻找 Lasso 估计，就是寻找最优的调节参数 λ 或控制最大 L_1 范数的 c ，找使得 RSS 最小的回归系数估计。而对于调节参数 λ ，可以通过一些数据驱动的方法进行选取，如 CV、GCV 或 BIC 准则进行选取。

岭回归只能满足连续性，而 Lasso 方法能够满足稀疏性和连续性。

Hastie 和 Tibshirani (1990) 定义了有效的自由度，它表示模型的复杂度。为了定义 Lasso 的自由度，首先给出下面的 Stein 引理。

引理 1.2. 假设 $\hat{\boldsymbol{\mu}} : \mathbb{R}^n \rightarrow \mathbb{R}^n$ 是几乎处处可微的, 且令

$$\nabla \cdot \hat{\boldsymbol{\mu}} = \sum_{i=1}^n \frac{\partial \hat{\mu}_i}{\partial y_i}.$$

如果 $\mathbf{Y} \sim N_n(\boldsymbol{\mu}, \sigma^2 \mathbf{I}_n)$, 则有

$$\sum_{i=1}^n \text{Cov}(\hat{\mu}_i, y_i) / \sigma^2 = \mathbb{E}[\nabla \cdot \hat{\boldsymbol{\mu}}].$$

假设一个同方差模型: $\mathbf{Y} \sim N(\boldsymbol{\mu}, \sigma^2 \mathbf{I}_n)$. 对任何估计: $\hat{\boldsymbol{\mu}} = \delta(\mathbf{Y})$, 引理(1.2) 定义了 $\hat{\boldsymbol{\mu}}$ 的自由度:

$$df(\hat{\boldsymbol{\mu}}) = \sum_{i=1}^n \text{Cov}(\hat{\mu}_i, y_i) / \sigma^2. \quad (11)$$

自由度表示模型的复杂度, 即回归系数估计的非零系数的个数. 对给定的调节参数 λ , 令 $\hat{\boldsymbol{\beta}}(\lambda)$ 表示回归系数向量 $\boldsymbol{\beta}$ 的 Lasso 估计, 则 Lasso 的自由度定义为:

$$df(\lambda) = \#\{j : \hat{\beta}_j(\lambda) \neq 0\}, \quad (12)$$

其中 $\#$ 表示集合中元素的个数. 可知 $df(\lambda) = \mathbb{E}[\hat{df}(\lambda)]$, 则 $df(\lambda)$ 是 Lasso 自由度的无偏估计.

有了自由度的定义, 在实际应用中, 可以使用 GCV 方法和 BIC 方法选取调节参数 λ .

GCV 方法 可以极小化下面的 GCV 准则选择调节参数 λ , 即

$$\hat{\lambda}_{\text{gcv}} = \arg \min_{\lambda} \text{GCV}(\lambda) = \arg \min_{\lambda} \frac{\|\mathbf{Y} - \mathbf{X}\hat{\boldsymbol{\beta}}_{\lambda}\|_2^2}{n(1 - \hat{df}(\lambda)/n)^2},$$

其中 $\hat{\boldsymbol{\beta}}_{\lambda}$ 表示给定 λ 时极小化 L_1 惩罚最小二乘目标函数 (9) 的 Lasso 估计, 且 $\hat{df}(\lambda)$ 表示给定 λ 的自由度.

BIC 方法 可以通过极小化下面的 BIC 准则进行选择调节参数 λ , 即

$$\text{BIC}(\lambda) = \log \hat{\sigma}_{\lambda}^2 + \frac{\hat{df}(\lambda) \log(n)}{n},$$

其中 $\hat{\sigma}_{\lambda}^2$ 是基于任一 λ 所得模型的残差平方和除以 n . 极小化上面的 BIC 准则目标函数 $\text{BIC}(\lambda)$, 可以选择最优的调节参数 λ , 记为 $\hat{\lambda}_{\text{bic}}$.

1.3.2 代码实践

例 1.3. 用程序包 *glmnet* 中的函数 *glmnet()* 对波士顿房价数据进行 *Lasso* 回归分析.

Lasso 回归只需将岭回归中 *glmnet()* 函数参数 *alpha* 设置为 1.

```

1  fit_lasso <- glmnet(x, y, alpha = 1, nlambda = 100)
2  lasso_tidy <- tidy(fit_lasso) %>%
3  filter(term != "(Intercept)") %>%
4  mutate(log_lambda = log(lambda))
5  lasso_plot <- ggplot(lasso_tidy, aes(x = log_lambda, y =
6    estimate, color = term)) +
7  geom_line(linewidth = 1) +
8  labs(
9    title = "lasso Regression Coefficient Paths",
10   x = "log(lambda)", y = "Coefficient"
11 ) +
12 theme_minimal() +
13 theme(legend.position = "right") +
14 guides(color = guide_legend(title = "Variables"))

```

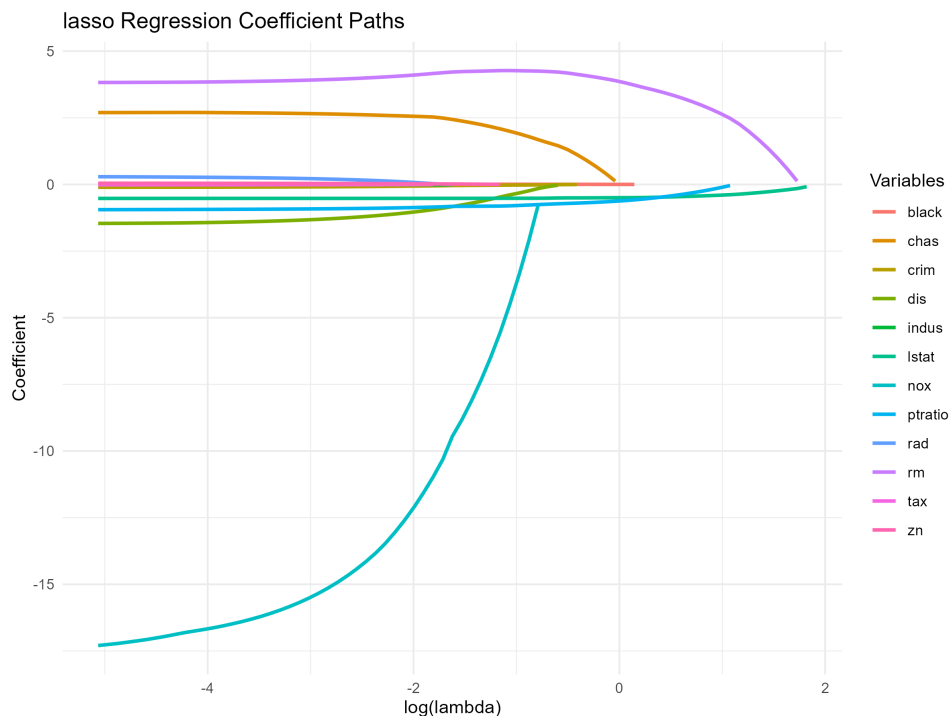


图 3: Lasso 回归估计随着 λ 变化的路径图.

从图(3)中可以看出, λ 足够大时, Lasso 回归估计得到一个零模型, 所有回归系数

的 Lasso 估计均为 0. 因此, 根据不同 λ 的取值, 可以得到包含不同变量的模型, 说明了 Lasso 方法筛选变量的功能.

同样, 我们可以绘制交叉验证误差图, 见图(4).

```
1 set.seed(2025)
2 cv.lasso <- cv.glmnet(x, y, alpha = 1)
3 plot(cv.lasso, xlab = expression(log(lambda)))
```

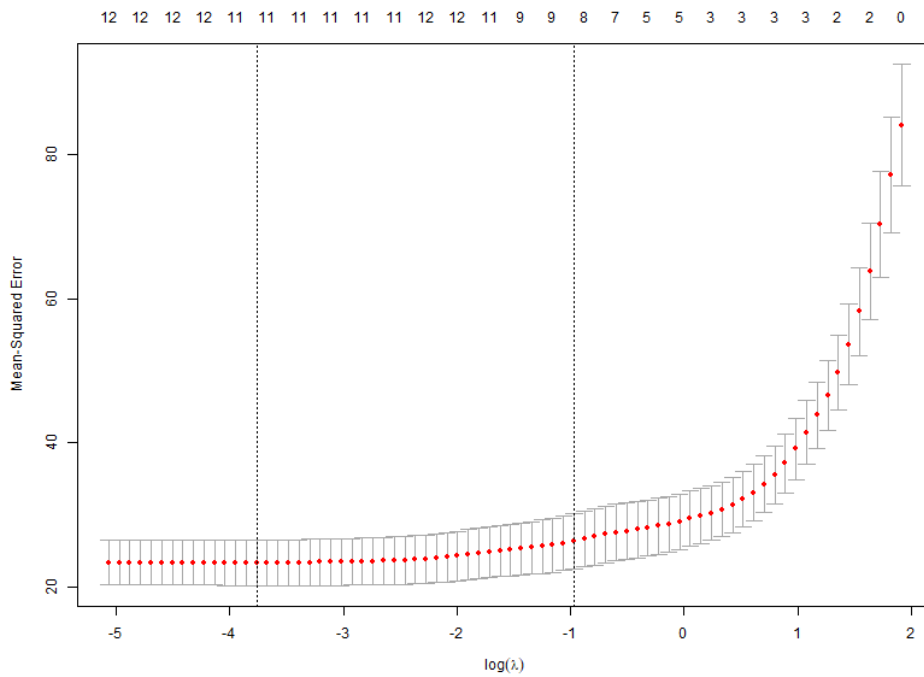


图 4: Lasso 回归的交叉验证误差图.

从(4)中可见使得 $CV(\hat{\lambda})$ 最小化的 λ 为 $\hat{\lambda} = 0.02325053$, 而利用“一个标准差”准则选取的 λ 为 $\tilde{\lambda} = 0.3789258$. 我们可以用函数 `coef()` 分别提取 $\hat{\lambda}$ 和 $\tilde{\lambda}$ 对应的回归系数的 Lasso 估计.

```
1 cv.lasso$lambda.min
2 cv.lasso$lambda.1se
3 coef(cv.lasso, s = "lambda.min")
4 coef(cv.lasso, s = "lambda.1se")
```

从结果看来, 部分回归系数为 0, 即得到了稀疏解, 使得模型更为简单, 不易导致过拟合.

1.4 SCAD 回归

1.4.1 模型建立

先前提到的惩罚函数不能同时满足无偏性、稀疏性和连续性。为了解决这个问题，Fan (1997) 提出了一个连续可微的惩罚函数，称为 SCAD 惩罚函数：

$$p'_\lambda(|\theta|) = \lambda \left\{ I(|\theta| \leq \lambda) + \frac{(a\lambda - |\theta|)_+}{(a-1)\lambda} I(|\theta| > \lambda) \right\}, \quad (13)$$

针对多元线性模型(2)，考虑下面的 SCAD 惩罚最小二乘目标函数：

$$Q(\beta) = \frac{1}{2n} \|\mathbf{Y} - \mathbf{X}\beta\|_2^2 + \sum_{j=1}^p p_\lambda(|\beta_j|), \quad (14)$$

其中 $p_\lambda(\cdot)$ 是由式(13)定义的 SCAD 惩罚函数， λ 是调节参数或截断参数。极小化 $Q(\beta)$ 可得回归系数向量的一个 SCAD 估计 $\hat{\beta}$ 。为求解，可利用 LQA 算法。

1.4.2 代码实践

例 1.4. 用程序包 *neverse* 中的函数 *nevreg()* 对波士顿房价数据进行 SCAD 回归分析。

进行 SCAD 回归。

```

1  library(MASS)
2  library(nevreg)
3  library(ggplot2)
4  library(reshape2)
5  data("Boston")
6  x <- as.matrix(Boston[, -14])
7  y <- Boston$medv
8  fit_SCAD <- nevreg(x, y, family = "gaussian", penalty = "SCAD",
    nlambdas = 100)

```

可以绘制 SCAD 估计随着 λ 变化的路径图以及交叉验证误差图。

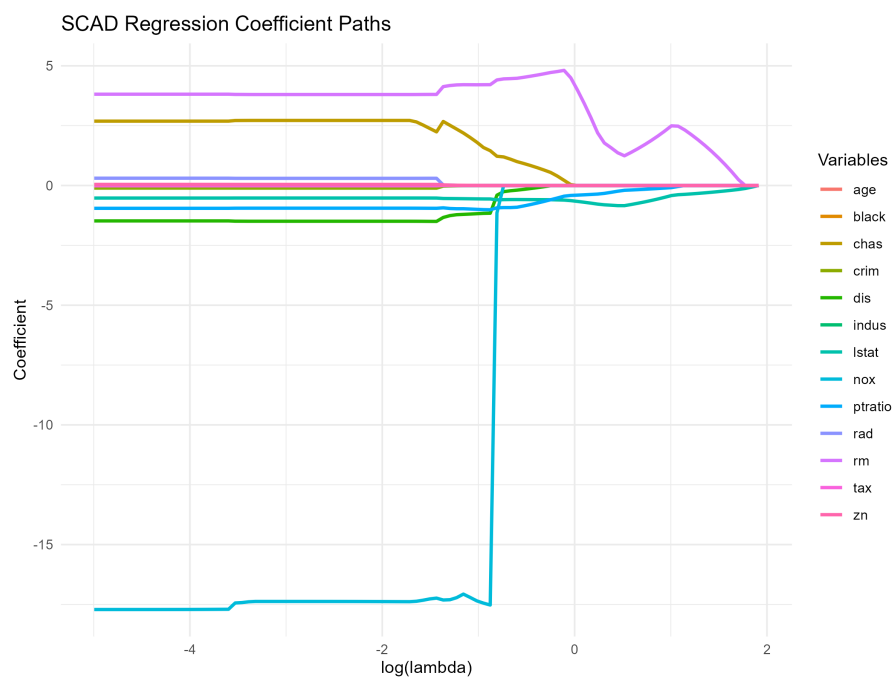


图 5: SCAD 回归估计随着 λ 变化的路径图.

图(5)显示了 SCAD 估计的路径图. 类似于 Lasso 方法, 随着 λ 的取值变化, 可以得到包含不同变量的模型, 具有筛选变量的作用.

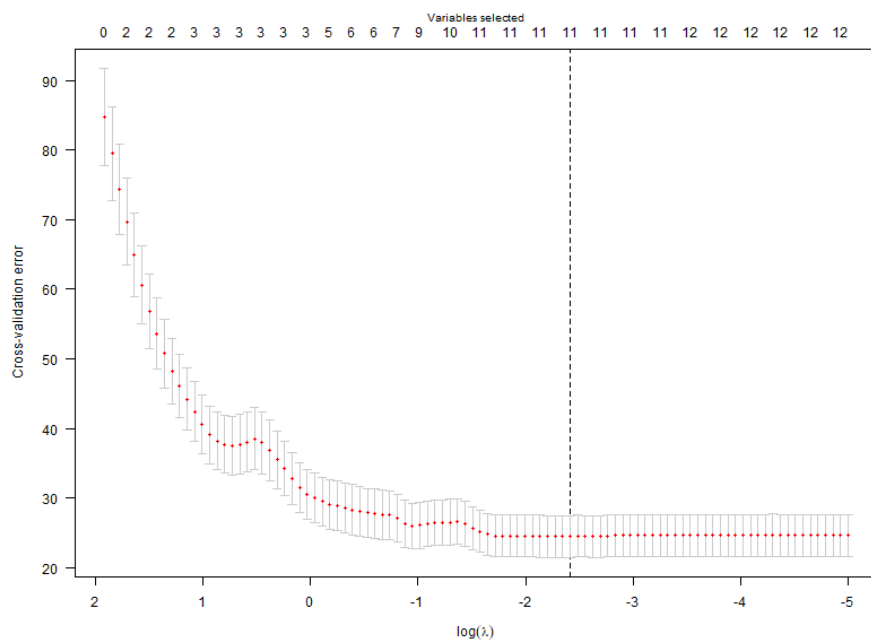


图 6: SCAD 回归的交叉验证误差图.

图(6)展示了交叉验证误差图.

1.5 自适应 Lasso

1.5.1 模型构建

我们先前得到了 Lasso 估计：

$$\hat{\beta}^L = \arg \min_{\beta} \left\{ \frac{1}{2n} \|\mathbf{Y} - \mathbf{X}\beta\|_2^2 + \lambda \|\beta\|_1 \right\}, \quad (15)$$

其中 $\|\beta\|_1 = \sum_{j=1}^p |\beta_j|$ 。令 $\mathcal{A} = \{j : \beta_{0j} \neq 0\}$ 表示活动模型， $\hat{\mathcal{A}}_n = \{j : \hat{\beta}_j^L \neq 0\}$ 表示选择模型。变量选择的目的是希望能正确识别正确的模型，即理论上需要证明下面变量选择相合性，即

$$\lim_{n \rightarrow \infty} \Pr(\hat{\mathcal{A}}_n = \mathcal{A}) = 1.$$

而 Lasso 估计不满足，因此引出自适应 Lasso 估计。令 $\hat{\beta}$ 是 β 的一个 \sqrt{n} -相合估计，如最小二乘估计。定义权向量： $\hat{w} = 1/|\hat{\beta}|^\gamma$ ， $\gamma > 0$ 。自适应 Lasso 估计 $\hat{\beta}^{\text{alasso}}$ 定义为：

$$\hat{\beta}^{\text{alasso}} = \arg \min_{\beta} \left\{ \frac{1}{2n} \|\mathbf{Y} - \mathbf{X}\beta\|_2^2 + \lambda \sum_{j=1}^p \hat{w}_j |\beta_j| \right\}. \quad (16)$$

从自适应 Lasso 估计式 (16) 可知，自适应 Lasso 的基本思想是，对于最小二乘估计大的回归系数，不进行惩罚，而对于接近于 0 的回归系数给予尽量大的惩罚，并压缩到 0。如果选取合适的 γ ，自适应 Lasso 的解将满足无偏性、稀疏性和连续性。求解自适应 Lasso 可以利用 LARS 算法。

1.5.2 代码实践

例 1.5. 用程序包 `msgps()` 对波士顿房价数据进行自适应 Lasso 回归分析。

可以直接通过 `msgps()` 进行自适应 Lasso 分析：

```

1  library(msgps)
2  library(MASS)
3
4  # 加载 Boston 数据
5  data("Boston")
6  x <- as.matrix(Boston[, -14])
7  y <- Boston$medv
8
9  # 自适应 Lasso 回归
10 alasso_fit <- msgps(x, y, penalty = "alasso", gamma = 1, lambda
    = 0)
```

```

11
12 # 绘图
13 png("alasso_plot.png", width = 800, height = 400)
14 par(mfrow = c(1, 2))
15 plot(lasso_fit, criterion = "gcv", xvar = "t", main = "GCV")
16 plot(lasso_fit, criterion = "bic", xvar = "t", main = "BIC")
17 dev.off()

```

图(7)展示了分别采用 GCV 准则和 BIC 准则选取的调节参数.

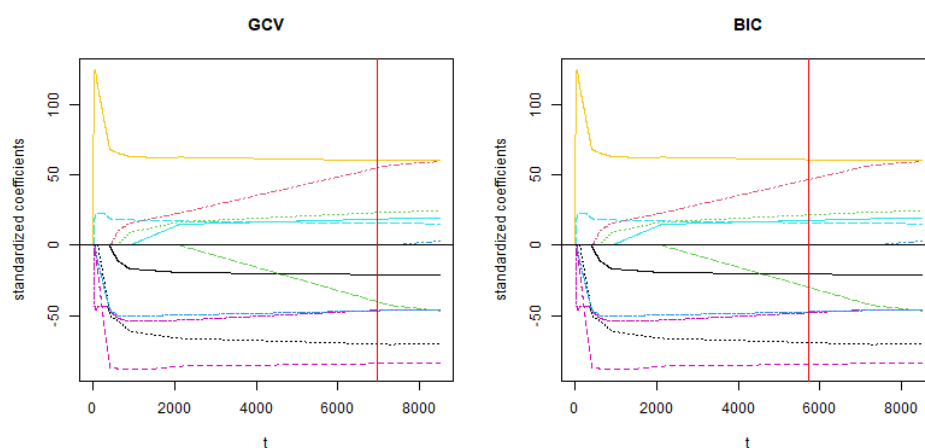


图 7: SCAD 回归估计随着 λ 变化的路径图.

使用 `summary()` 可以对输出结果进行汇总, 结果见附录.

参考文献

- [1] 李高荣, 吴密霞编著. 多元统计分析 [M]. 北京: 科学出版社, 2021.

A 回归系数表

表 1: Ridge 回归在 $\hat{\lambda}$ 与 $\tilde{\lambda}$ 下的非零系数

(a) $\hat{\lambda}$			(b) $\tilde{\lambda}$		
	Coef	Term		Coef	Term
(Intercept)	28.0015	(Intercept)	(Intercept)	20.8162	(Intercept)
crim	-0.0876	crim	crim	-0.0679	crim
zn	0.0327	zn	zn	0.0204	zn
indus	-0.0380	indus	indus	-0.0687	indus
chas	2.8998	chas	chas	2.7637	chas
nox	-11.9134	nox	nox	-5.4131	nox
rm	4.0113	rm	rm	3.6171	rm
age	-0.0037	age	age	-0.0077	age
dis	-1.1189	dis	dis	-0.5190	dis
rad	0.1537	rad	rad	0.0327	rad
tax	-0.0058	tax	tax	-0.0029	tax
ptratio	-0.8550	ptratio	ptratio	-0.6703	ptratio
black	0.0091	black	black	0.0076	black
lstat	-0.4724	lstat	lstat	-0.3479	lstat

表 2: Lasso 回归在 $\hat{\lambda}$ 与 $\tilde{\lambda}$ 下的非零系数

(a) $\hat{\lambda}$			(b) $\tilde{\lambda}$		
	Coef	Term		Coef	Term
(Intercept)	34.7411	(Intercept)	(Intercept)	17.4715	(Intercept)
crim	-0.1000	crim	crim	-0.0218	crim
zn	0.0422	zn	zn	0.0000	zn
indus	0.0000	indus	indus	0.0000	indus
chas	2.6914	chas	chas	1.8977	chas
nox	-16.4841	nox	nox	-3.3413	nox
rm	3.8564	rm	rm	4.2663	rm
age	0.0000	age	age	0.0000	age
dis	-1.4121	dis	dis	-0.3171	dis
rad	0.2603	rad	rad	0.0000	rad
tax	-0.0101	tax	tax	0.0000	tax
ptratio	-0.9327	ptratio	ptratio	-0.7873	ptratio
black	0.0091	black	black	0.0066	black
lstat	-0.5225	lstat	lstat	-0.5181	lstat

Listing 1: 自适应 Lasso 回归的结果

```

1      Call: msgps(X = x, y = y, penalty = "a_lasso", gamma = 1,
2              lambda = 0)
3
4      Penalty: "a_lasso"
5
6      gamma: 1
7
8      lambda: 0
9
10     df:
11 tuning      df
12 [1,]  0.0000  0.0000
13 [2,]  0.3814  0.2484
14 [3,]  0.7630  0.4969
15 [4,]  1.1444  0.7453
16 [5,]  4.0198  1.2183
17 [6,]  7.4965  2.1132
18 [7,]  9.2763  2.7975
19 [8,]  9.4515  3.3418
20 [9,] 10.0666  3.7518
21 [10,] 10.6814  4.0942
22 [11,] 11.2660  4.6070
23 [12,] 11.8551  4.9074
24 [13,] 12.7180  5.4213
25 [14,] 14.0164  6.6353
26 [15,] 15.5274  7.6835
27 [16,] 16.6140  8.7381
28 [17,] 17.2934  9.7463
29 [18,] 17.7604 10.2261
30 [19,] 18.2293 10.6565
31 [20,] 23.6064 12.7498
32
33 tuning.max: 23.61
34
35 ms.coef:
36 Cp          AICC          GCV          BIC
(Intercept) 36.286119 36.286119 36.286119 36.195154

```

37	crim	-0.107663	-0.107663	-0.107663	-0.105748
38	zn	0.044418	0.044418	0.044418	0.041215
39	indus	0.000000	0.000000	0.000000	0.000000
40	chas	2.750745	2.750745	2.750745	2.819947
41	nox	-17.690035	-17.690035	-17.690035	-18.410529
42	rm	3.819632	3.819632	3.819632	3.858720
43	age	0.000000	0.000000	0.000000	0.000000
44	dis	-1.482663	-1.482663	-1.482663	-1.461273
45	rad	0.281093	0.281093	0.281093	0.239207
46	tax	-0.010572	-0.010572	-0.010572	-0.007861
47	ptratio	-0.953955	-0.953955	-0.953955	-0.971207
48	black	0.009085	0.009085	0.009085	0.008628
49	lstat	-0.523807	-0.523807	-0.523807	-0.526730
50					
51	ms.tuning:				
52	Cp	AICC	GCV	BIC	
53	[1,]	18.44	18.44	18.44	18.11
54					
55	ms.df:				
56	Cp	AICC	GCV	BIC	
57	[1,]	10.85	10.85	10.85	10.54